



Laboratório de Sistemas 3

Relatório Kanban

Engenharia de Sistemas

Grupo C

DEPARTAMENTO DE ENGENHARIA ELÉTRICA DA UNIVERSIDADE
FEDERAL DE MINAS GERAIS

10 de setembro de 2025

Conteúdo

1	Exemplo Citação	1
2	Exercício 12.1	1
2.1	Objetivo	1
2.2	Resultados	1
2.3	Discussão	2
2.4	Conclusão	2
3	Exercício 12.2	2
3.1	Objetivo	2
3.2	Metodologia	2
3.3	Resultados	2
3.4	Discussão	3
3.5	Conclusão	3
4	Exercício 12.3	3
4.1	Objetivo	3
4.2	Metodologia	3
4.3	Resultados	3
4.4	Discussão	4
4.5	Conclusão	4

1 Exemplo Citação

Citações podem ser feitas assim: (VERDOOLD et al., 2014)

Ou então cite elas no meio da linha Agostinho et al. (2018) sem parênteses.

2 Exercício 12.1

2.1 Objetivo

O objetivo é analisar o...

2.2 Resultados

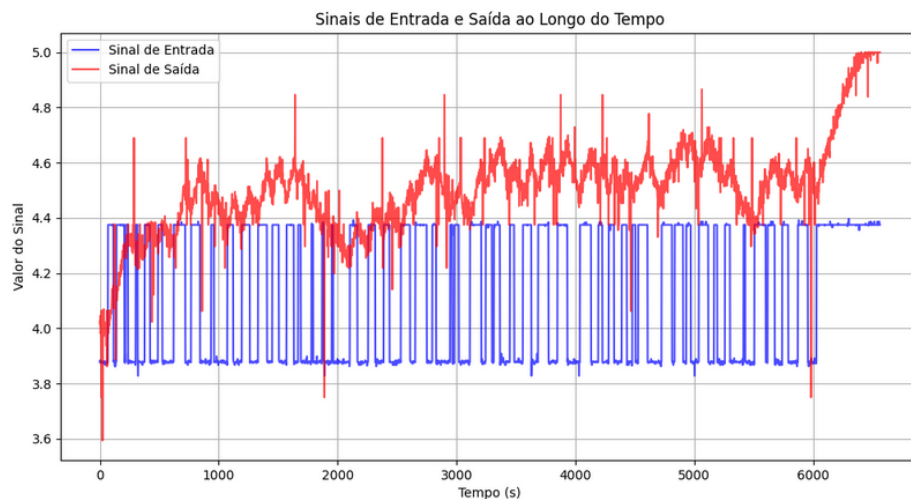


Figura 1: Sinais de entrada e saída ao longo do tempo. A entrada apresenta comportamento binário pseudoaleatório, enquanto a saída é mais suave devido à dinâmica do sistema.

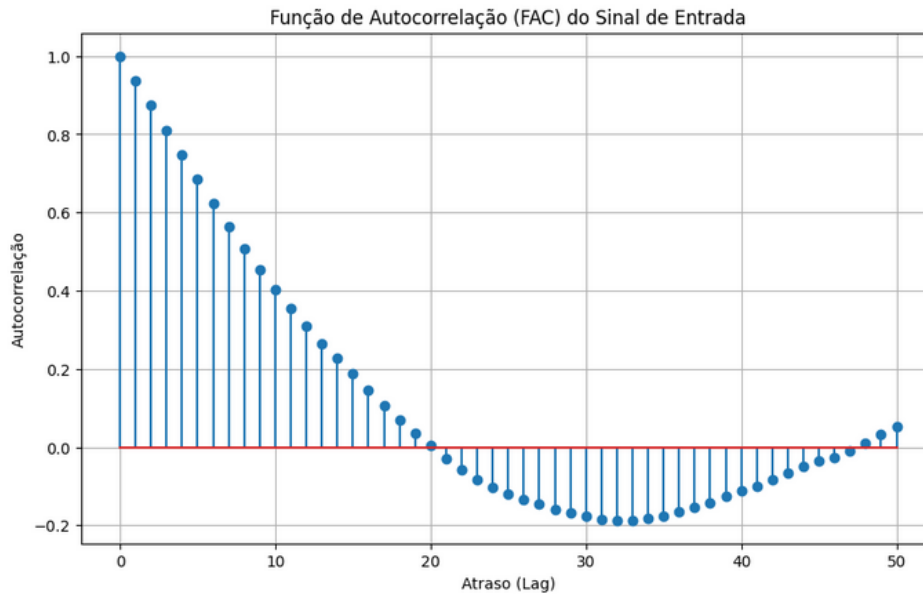


Figura 2: Função de autocorrelação (FAC) do sinal de entrada. Os altos valores iniciais indicam padrões determinísticos no sinal pseudoaleatório.

2.3 Discussão

A função de autocorrelação mostra que ...

2.4 Conclusão

O sinal de entrada apresenta ...

3 Exercício 12.2

3.1 Objetivo

O objetivo deste exercício é ...

3.2 Metodologia

Os seguintes passos foram seguidos para resolver o problema...

3.3 Resultados

- Taxa de Decimação (Δ): 32.
- Número de observações no sinal decimado: 101.
- Comprimento médio dos patamares mais curtos: 2,37 observações.

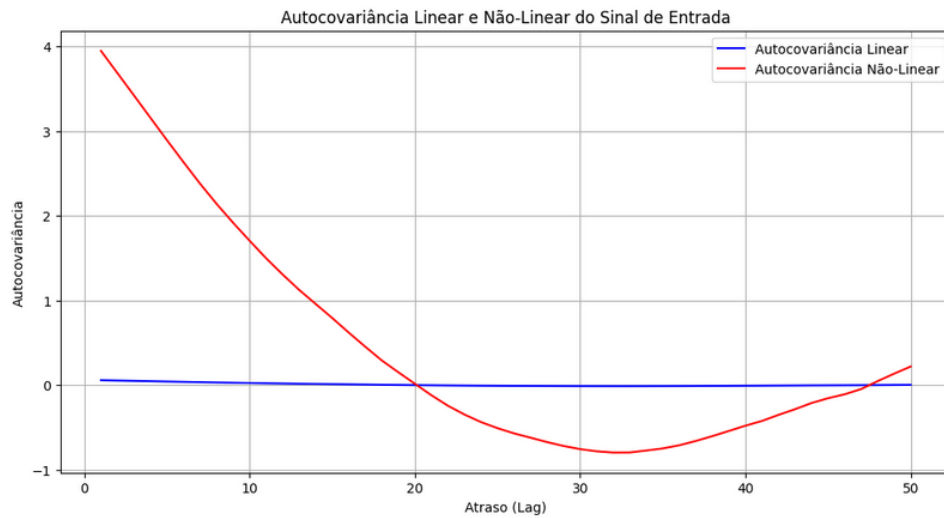


Figura 3: Autocovariância Linear e Não-Linear do Sinal de Entrada.

3.4 Discussão

Os resultados indicam que ...

3.5 Conclusão

O sinal foi decimado utilizando...

4 Exercício 12.3

4.1 Objetivo

O objetivo deste exercício é...

4.2 Metodologia

Os seguintes passos foram realizados...

4.3 Resultados

Os principais resultados obtidos foram:

- Dimensão da matriz Z : 96×9 .
- Dimensão da matriz $Z^T Z$: 9×9 .
- Autovalores de $Z^T Z$:

$$-2.61 \times 10^{-15}, 2.43 \times 10^{-15}, 0.202, 0.792, 2.82, 22.78, 28.35, 44.17, 46.99.$$

- Multiplicidade do menor autovalor: 2.

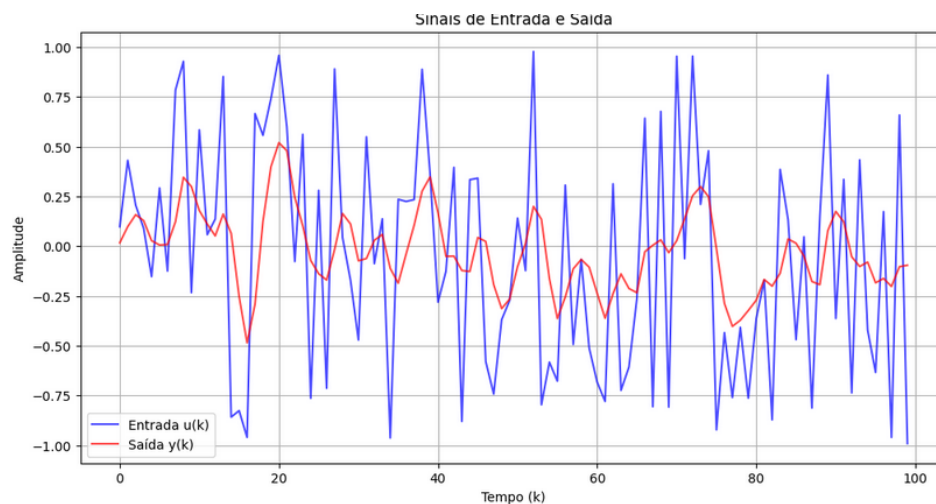


Figura 4: Sinais de Entrada e Saída.

4.4 Discussão

A matriz de covariância $Z^T Z$ apresentou ...

4.5 Conclusão

O exercício demonstrou ...

Referências

AGOSTINHO, L. et al. Simple-jet mode electrosprays with water. description, characterization and application in a single effect evaporation chamber. *Journal of Aerosol Science*, Elsevier BV, v. 125, p. 237–250, nov. 2018. ISSN 0021-8502. Disponível em: <http://dx.doi.org/10.1016/j.jaerosci.2018.04.010>.

VERDOOLD, S. et al. A generic electrospray classification. *Journal of Aerosol Science*, Elsevier BV, v. 67, p. 87–103, jan. 2014. ISSN 0021-8502. Disponível em: <http://dx.doi.org/10.1016/j.jaerosci.2013.09.008>.